

Less Yet Robust Crucial Region Selection for Scene Recognition Models

张健琦*, 王蒙轩*, 王静瑶, 司凌宇, 郑昌文, 徐帆江

IEEE International Conference on Acoustics, Speech,
and Signal Processing

张健琦 jluzhangjianqi@163.com

概述

针对水下与遥感场景图像常见的模糊、过曝及局部噪声干扰，本文设计了一种嵌入式可学习掩码机制，自动在高层特征图上筛选判别性区域，并在损失中引入稀疏正则，降低类别间共享干扰影响。该机制无需额外推理开销，可与各类CNN主干无缝结合。实验在自建海底地质场景数据集UGS与公开UCM上均取得领先精度，且在人工加噪测试中保持稳健，验证了方法的通用性与实用价值。

动机与分析

水下与遥感图像常受散射、过曝等影响，图像中充斥着无关元素。使用基于卷积的场景识别方法时，模型会从图像的所有区域提取特征，可能将无关元素也纳入决策过程。在图1中，红框内的区域已足以判断图像类别，但ResNet-18却将注意力集中到了不相关的区域上。

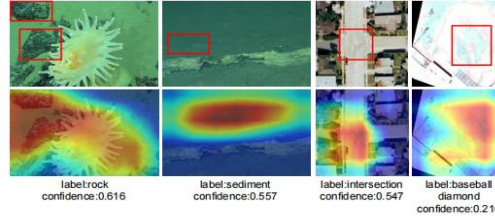


图1：第一行展示输入图像，红框标出了足以判定图像类别的区域。第二行（通过Grad-CAM生成）显示ResNet-18在预测这些图像时关注的区域。每幅图像底部给出了对应标签及其置信度分数。可以看出，ResNet-18的注意区域明显超出了红框所示的判别性区域。

方法

我们提出只关注图像中少量但关键的区域，以帮助模型学习并消除噪声或遮挡对决策的影响。基于这一洞见，我们设计了一种新方法。具体而言，步骤1：使用基于CNN的特征提取器获得语义特征；步骤2：引入可学习的掩码矩阵来定位重要特征，并对该掩码施加稀疏约束，使模型在预测时仅利用尽可能少而关键的特征区域。

下图展示了所提方法的整体流程：

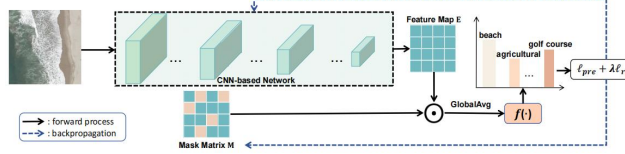


图2：所提方法的整体框架。

实验

在对比实验中，我们采用了ResNet系列、MobileNet系列、ViT系列，以及我们提出的ResNet+掩码矩阵M方法。为了验证掩码矩阵M的有效性，我们还将其引入到MobileNet中。为消除随机性的影响，每个模型在每个数据集上均测试五次，记录平均准确率、标准差以及最低准确率。表1展示了完整的实验结果，最佳结果用红色标出，次优结果用蓝色标出。

Models	FLOPs (G)	UGS			UCM		
		acc	min acc	sparsity of M(%)	acc	min acc	sparsity of M(%)
ResNet18	7.29	0.900 ± 7.5e-4	0.900	-	0.964 ± 1.5e-4	0.945	-
ResNet18*	7.29	0.940 ± 1.2e-3	0.900	48.98	0.973 ± 6.5e-5	0.959	95.92
ResNet50	16.53	0.885 ± 6.5e-4	0.850	-	0.947 ± 5.4e-4	0.909	-
ResNet50*	16.53	0.920 ± 1.4e-3	0.900	34.69	0.948 ± 2.9e-4	0.941	91.84
ResNet101	31.46	0.860 ± 3.2e-3	0.750	-	0.946 ± 9.0e-4	0.901	-
ResNet101*	31.46	0.900 ± 1.3e-3	0.850	32.65	0.951 ± 1.9e-4	0.932	91.84
MobileNet v2	1.30	0.875 ± 7.5e-4	0.850	-	0.963 ± 6.6e-5	0.951	-
MobileNet v2*	1.30	0.880 ± 6.0e-4	0.850	28.57	0.972 ± 4.7e-5	0.961	91.84
MobileNet v3 small	0.24	0.680 ± 1.7e-2	0.575	-	0.957 ± 4.1e-4	0.917	-
MobileNet v3 small*	0.24	0.695 ± 1.3e-2	0.575	59.18	0.962 ± 1.0e-4	0.946	95.92
MobileNet v3 large	0.93	0.725 ± 3.5e-2	0.575	-	0.956 ± 4.9e-4	0.920	-
MobileNet v3 large*	0.93	0.765 ± 9.2e-3	0.575	51.02	0.966 ± 2.3e-4	0.936	95.92
ViT Base 16	11.29	0.835 ± 4.7e-3	0.725	-	0.930 ± 9.2e-5	0.913	-
ViT Base 32	2.95	0.880 ± 1.1e-3	0.875	-	0.939 ± 1.9e-5	0.934	-
ViT Large 16	39.86	0.780 ± 4.6e-3	0.675	-	0.886 ± 6.8e-4	0.863	-
ViT Large 32	10.23	0.815 ± 4.2e-3	0.725	-	0.945 ± 4.4e-5	0.935	-

表1：不同模型在UGS和UCM数据集上的性能对比。模型名称后带*表示该模型引入了我们提出的掩码矩阵M。“acc”表示模型在测试集上五次实验的平均准确率，括号内为对应的标准差；“min acc”表示五次实验中测试集上的最低准确率。